

รายงานฉบับสมบูรณ์โครงการวิจัย

การออกแบบวงจรเชิงอนุกรมด้วยอุปกรณ์ Gallium Arsenide (GaAs)



หัวหน้าโครงการ

นาย วัลลภ สุระกำพลธร  
 RCH  
 TK  
 7874  
 ๐๕๕๖๖

เลขหมู่.....  
 เลขทะเบียน.....28205  
 วัน, เดือน, ปี 2.3.ค.ศ. 2540

เอกสารนี้เป็นเอกสารที่สงวนไว้สำหรับการใช้งานเพื่อการศึกษาเท่านั้น ไม่อนุญาตให้นำไปใช้ประโยชน์ด้านการค้า  
 ไม่ว่าจะกรณีใดๆทั้งสิ้น อีกทั้งห้ามมิให้ดัดแปลงเนื้อหา และต้องอ้างอิงถึงเจ้าของเอกสารทุกครั้งที่มีการนำไปใช้

## การออกแบบวงจรเชิงอนุกรมด้วยอุปกรณ์ Gallium Arsenide (GaAs)

### ANALOGUE INTEGRATED CIRCUIT DESIGN USING GALLIUM ARSENIDE

#### บทคัดย่อ

รายงานนี้ได้เสนอแนวทางใหม่ในการออกแบบวงจรรวมเชิงอนุกรมโดยใช้แกเลียมอาร์เซไนด์ เมสเฟท (GaAs MESFETs) ซึ่งอุปกรณ์เมสเฟทนี้มีคุณสมบัติที่เหนือกว่าอุปกรณ์ไบโพลาร์ และ มอสเฟทคือย่านความถี่ปฏิบัติงานสูงมาก จึงทำให้วงจรที่ออกแบบขึ้นโดยอาศัยหลักการออกแบบวงจร รวมที่มีการทำงานอยู่ในรูปกระแส มีคุณสมบัติเด่นของวงจรที่นำเสนอคือมีช่วงปฏิบัติการทางความถี่อยู่ในย่านสูงมาก ซึ่งในที่นี้วงจรที่นำเสนอคือวงจรขยายความนำ (operational transconductance amplifier) โดยวงจรประกอบด้วยคุณสมบัติของวงจรขยายความแตกต่าง (differential amplifier) ต่อ ร่วมกับวงจรสะท้อนกระแส (current mirror) เนื่องจากอุปกรณ์ทั้งหมดที่ใช้ในการออกแบบล้วนแล้ว แต่เป็นอุปกรณ์เมสเฟททั้งสิ้น ดังนั้นจึงมีความเป็นไปได้ที่จะนำเอาหลักการและแนวทางดังกล่าวไป พัฒนาสร้างขึ้นเป็นวงจรรวมต่อไป เพื่อยืนยันหลักการที่ได้นำเสนอจึงได้ทำการวิเคราะห์หาคุณสมบัติ ของวงจรในทางทฤษฎีเปรียบเทียบกับผลการเลียนแบบการทำงานของวงจรด้วยโปรแกรม PSPICE ผลที่ได้สามารถแสดงให้เห็นถึงสมรรถนะ ตลอดจนผลตอบสนองทางความถี่ของวงจรว่าสอดคล้องเป็น ไปตามแนวทางที่ได้เสนอขึ้น

#### Abstract

This report studies a circuit concept to design of analog integrated circuit using gallium arsenide (GaAs) MESFETs. GaAs technology has more advantages than bipolar and MOS technologies which GaAs device can used for high frequency particularly in the GHz band. The new methods is very suitable designing and realizing current mode analog integrated circuit that have high-frequency response characteristics. GaAs-based operational transconductance amplifier (OTA) circuit is proposed in this report. For the circuit, OTA employs differential amplifier and current mirrors which is more suitable for implementing in integrated circuit form. The experimental results and PSPICE simulation results confirm that the performance and frequency response of the propose circuits, are in agreement with the theoretical results.

เอกสารนี้เป็นเอกสารที่สงวนไว้สำหรับการใช้งานเพื่อการศึกษาเท่านั้น ไม่อนุญาตให้นำไปใช้ประโยชน์ด้านการค้า ไม่ว่ากรณีใดๆทั้งสิ้น อีกทั้งห้ามมิให้ดัดแปลงเนื้อหา และต้องอ้างอิงถึงเจ้าของเอกสารทุกครั้งที่มีการนำไปใช้

## 1 บทนำ

วงจรรขยายค่าความนำหรือวงจรถ้าหน้าทีที่เปลี่ยนศักดาเป็นกระแสแบบปรับค่าความนำของวงจรถ้าหน้าทีได้เป็นวงจรถ้าหน้าทีที่มีความสำคัญมากในงานด้านการประมวลสัญญาณในรูปของกระแส เช่น วงจรถ้าหน้าทีออสซิลเลเตอร์, วงจรถ้าหน้าทีฟลิปฟลิปเตอร์ เป็นต้น ซึ่งส่วนใหญ่วงจรรขยายค่าความนำดังกล่าวจะออกแบบพัฒนามาจากเทคโนโลยีไบโพลาร์หรือเทคโนโลยี MOS แต่ในการวิจัยฉบับนี้จะกล่าวถึงคุณสมบัติและสมรรถนะของวงจรรขยายค่าความนำที่ออกแบบโดยใช้เทคโนโลยีเกตเลียมอาร์เซไนด์เป็นหลัก ซึ่งวงจรถ้าหน้าทีประกอบด้วยวงจรถ้าหน้าที GaAs สะท้อนกระแสต่อร่วมกับวงจรถ้าหน้าทีคอนดัคเตอร์พื้นฐานค่าความนำของวงจรถ้าหน้าทีนั้นสามารถควบคุมได้ง่ายและสะดวก ด้วยการปรับค่ากระแสไบอัสที่คู่ดิฟเฟอเรนเชียลในวงจรถ้าหน้าที ทำให้สมรรถนะของวงจรถ้าหน้าทีได้มีประสิทธิภาพที่ดิวจรถ้าหน้าที มีความเป็นเชิงเส้นตลอดช่วงการปฏิบัติงาน และผลตอบสนองต่อความถี่สูงมาก

## 2 หลักการพื้นฐาน

### 2.1 วงจรถ้าหน้าทีกระแสแบบใช้ GaAs MESFETs

วงจรถ้าหน้าทีกระแสเป็นวงจรถ้าหน้าทีที่มีคุณสมบัติทางไฟฟ้าคือมีค่าความต้านทานจุดเข้าของสัญญาณต่ำและมีค่าความต้านทานตรงจุดออกของสัญญาณสูง จากคุณสมบัตินี้ทำให้วงจรถ้าหน้าทีกระแสได้ถูกนำมาประยุกต์ใช้ในงานต่าง ๆ เป็นอย่างมาก เช่น ภาคขยายกำลังในเครื่องขยายเสียง ภาคขยายสัญญาณส่วนหน้าของเครื่องมือวัด ใช้เป็นโหนดของวงจรรขยายสัญญาณขนาดเล็กในวงจรรวม และใช้เป็นวงจรถ้าหน้าทีกระแส เป็นต้น

โดยทั่วไปวงจรถ้าหน้าทีกระแสแบ่งออกเป็น 2 ชนิดคือ 1) วงจรถ้าหน้าทีกระแสแบบบวก (positive current mirror) เป็นวงจรถ้าหน้าทีกระแสที่ท้าหน้าทีที่ดึงกระแสลงที่ไม่ขึ้นกับโหนด ซึ่งบางครั้งจะเรียกกระแสในทิศทางลักษณะนี้ว่า กระแสซิงค์ (current sink) และ 2) วงจรถ้าหน้าทีกระแสแบบลบ (negative current mirror) เป็นวงจรถ้าหน้าทีกระแสที่ท้าหน้าทีที่จ่ายกระแสลงที่ไม่ขึ้นกับโหนด ซึ่งจะเรียกทิศทางของกระแสลักษณะนี้ว่า กระแสซอร์ส (current source) โดยลักษณะการทำงานที่สำคัญของวงจรถ้าหน้าทีกระแสทั้งสองแบบดังกล่าวจะเป็นลักษณะวงจรถ้าหน้าทีตามศักดา (voltage follower)

#### 2.1.1 วงจรถ้าหน้าทีกระแสพื้นฐาน

วงจรถ้าหน้าทีกระแสพื้นฐานดังรูปที่ 2.1.1 ประกอบด้วยคู่ของเมสเฟท  $M_1$  และ  $M_2$  ที่มีขาทและขาทซอร์สต่อกันแบบคู่ไขว้ (crosscouple) [1] ซึ่งโดยทั่วไปแล้วอัตราส่วน  $g_m/g_d$  ของเมสเฟทมีค่าประมาณ 15-20 เท่า ดังนั้นจะได้ค่าอิมพีแดนซ์ด้านจุดเข้า (input impedance) ของวงจรถ้าหน้าทีจุด 1,  $Z_{in}$  ดังนี้

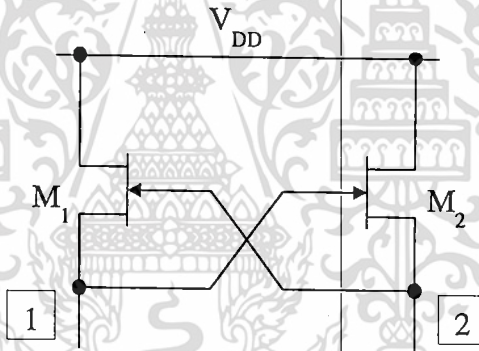
เอกสารนี้เป็นเอกสารที่สงวนไว้สำหรับการใช้งานเพื่อการศึกษาเท่านั้น ไม่อนุญาตให้นำไปใช้ประโยชน์ด้านการค้า ไม่ว่ากรณีใดๆทั้งสิ้น อีกทั้งห้ามมิให้ดัดแปลงเนื้อหา และต้องอ้างอิงถึงเจ้าของเอกสารทุกครั้งที่มีการนำไปใช้

$$Z_{in1} = \left[ \frac{g_{m2} + s(C_1 + C_3)}{g_{m1} + s(C_1 + C_2)} \right] Z_{L2} + \left[ \frac{1}{g_{m1} + s(C_1 + C_2)} \right] \quad (2.1.1)$$

และอิมพีแดนซ์ด้านจุดเข้าของวงจรที่จุด 2,  $Z_{in2}$  เท่ากับ

$$Z_{in2} = \left[ \frac{g_{m1} + s(C_1 + C_2)}{g_{m2} + s(C_1 + C_3)} \right] Z_{L1} + \left[ \frac{1}{g_{m2} + s(C_1 + C_3)} \right] \quad (2.1.2)$$

เมื่อ  $g_{m1}$ ,  $g_{m2}$  เป็นค่าความนำ (transconductance) ของเมสเฟท  $M_1$  และ  $M_2$  ตามลำดับ  $C_1 = C_{gs1} + C_{gs2}$ ,  $C_2 = C_{gd2}$ ,  $C_3 = C_{gd1}$  โดยที่  $C_{gsi}$  เป็นค่าความจุไฟฟ้าระหว่างขาเกตกับขาซอร์สและ  $C_{gdi}$  เป็นค่าความจุไฟฟ้าระหว่างขาเกตกับขาเดรนของเมสเฟท  $M_i$  และ  $Z_{L1}$ ,  $Z_{L2}$  เป็นค่าอิมพีแดนซ์ของโหลด (load impedance) ที่ต่อทางด้านจุด 1 และจุด 2 ของวงจรตามลำดับ



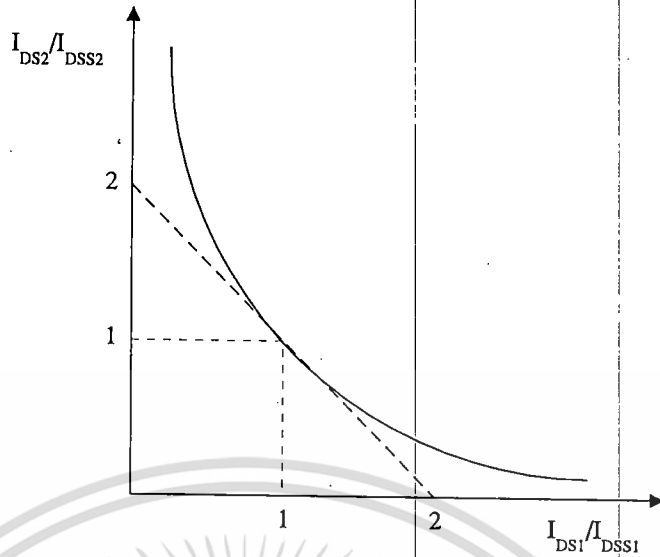
รูปที่ 2.1.1 : วงจร GaAs สะท้อนกระแสพื้นฐาน

โดยทั่วไปแล้ว  $Z_{L1} \gg 1/g_{m1}$  และ  $Z_{L2} \gg 1/g_{m2}$  ดังนั้นจากสมการที่ (2.1.1) และ (2.1.2) ค่าความต้านทานที่จุดเข้าแต่ละพอร์ตจึงมีค่าประมาณ

$$r_{in1} = \left( \frac{g_{m2}}{g_{m1}} \right) Z_{L2} \quad (2.1.3)$$

และ

$$r_{in2} = \left( \frac{g_{m1}}{g_{m2}} \right) Z_{L1} \quad (2.1.4)$$



รูปที่ 2.1.2 : กราฟคุณลักษณะของกระแสในวงจรรูปที่ 1.2.1

คุณลักษณะของกระแสในวงจรสะท้อนกระแสแบบพื้นฐานนี้ สามารถพิจารณาได้โดยอาศัยสมการกระแสเดรนของเมสเฟทเมื่อถูกไบอัสให้ทำงานในช่วงอิ่มตัวจะได้

$$I_{DS1} = I_{DSS1} \left[ 1 - \frac{V_{GS1}}{V_T} \right]^2 \quad (2.1.5)$$

นั่นคือ

$$I_{DS2} = I_{DSS2} \left[ 1 - \frac{V_{GS2}}{V_T} \right]^2 \quad (2.1.6)$$

จากรูปที่ 2.1.1 เมื่อเมสเฟททั้งสองตัวในวงจรมีคุณสมบัติสมพงษ์กัน (match) และต่อกันแบบคู่อั้วแล้ว จึงได้ค่า  $\beta$ ,  $V_T$  มีค่าเท่ากันและ  $V_{GS1} = -V_{GS2}$  ดังนั้นจะได้ความสัมพันธ์ของกระแสทั้งสองดังนี้

$$\frac{I_{DS2}}{I_{DSS2}} = \left( \frac{I_{DS1}}{I_{DSS1}} \right) + 4 \left[ 1 - \sqrt{\frac{I_{DS1}}{I_{DSS1}}} \right] \quad (2.1.7)$$

โดย  $I_{DSS}$  คือกระแสเดรนอิ่มตัว (หรือกระแสเดรนที่  $V_{GS} = 0$ ) มีค่าเท่ากับ  $\beta \cdot (V_T)^2$  และจากสมการที่ (2.1.7) ข้างต้นแสดงให้เห็นว่าคุณลักษณะของกระแสเป็นสมการไม่เชิงเส้นและกลับเฟส ดังแสดงได้ด้วยกราฟความสัมพันธ์ระหว่าง  $I_{DS2}/I_{DSS2}$  กับ  $I_{DS1}/I_{DSS1}$  ในรูปที่ 2.1.2

## 2.1.2 วงจร GaAs สะท้อนกระแสแบบลบ

วงจร GaAs สะท้อนกระแสแบบลบดังแสดงในรูปที่ 2.1.3 นั้นถูกเสนอเป็นครั้งแรกโดย C.Toumazou และคณะ [1] รายละเอียดของวงจรประกอบด้วยวงจรพื้นฐานในรูปที่ 2.1.1 สองชุดต่อร่วมกันเพื่อทำหน้าที่สะท้อนกระแสสองครั้งเพื่อให้ทิศทางระหว่างกระแสจุดเข้ากับกระแสจุดออกมีทิศทางเดียวกัน (noninverting) จากเงื่อนไขการไบอัสให้ GaAs MESFET ทำงานในช่วงอิมิตัว ซึ่งจะได้คุณสมบัติของกระแสตรงเป็นฟังก์ชันของศักดาไบอัสเกต-ซอร์ส,  $V_{GS}$  ดังนี้

$$I_{DS} = W \cdot f(V_{GS}) \quad (2.1.8)$$

โดยที่  $f$  แทนถึงฟังก์ชันไม่เชิงเส้นซึ่งขึ้นอยู่กับศักดาเกต-ซอร์ส,  $V_{GS}$  ดังนั้นกระแสจุดเข้าของวงจร  $I_{in}$  หรือกระแสตรงของเมสเฟต  $M_1$ ,  $I_{DS1}$  ที่เกิดจากการไบอัสด้วยศักดาเกต-ซอร์ส,  $V_{GS1}$  จึงมีความสัมพันธ์ดังนี้

$$I_{in} = I_{DS1} = W_1 \cdot f(V_{GS1}) \quad (2.1.9)$$

ศักดาเกต-ซอร์สของ  $M_1$  จะกลับทิศทางป้อนให้กับเกต-ซอร์สของ  $M_2$  ทำให้เกิดกระแสตรง  $I_{DS2}$  ขึ้นซึ่งเท่ากับกระแสตรง,  $I_{DS3}$  ของ  $M_3$  นั่นคือศักดาเกต-ซอร์สของ  $M_2$  และ  $M_3$  ต่างเท่ากับ  $-V_{GS1}$  ที่ขั้วสุดศักดาเกต-ซอร์สของ  $M_3$  จะกลับทิศทางและป้อนให้กับ  $M_4$  ดังนั้นกระแสจุดออกเป็น

$$I_{DS4} = W_4 \cdot f(V_{GS1}) = \left(\frac{W_4}{W_1}\right) \cdot I_{DS1}$$

หรือ

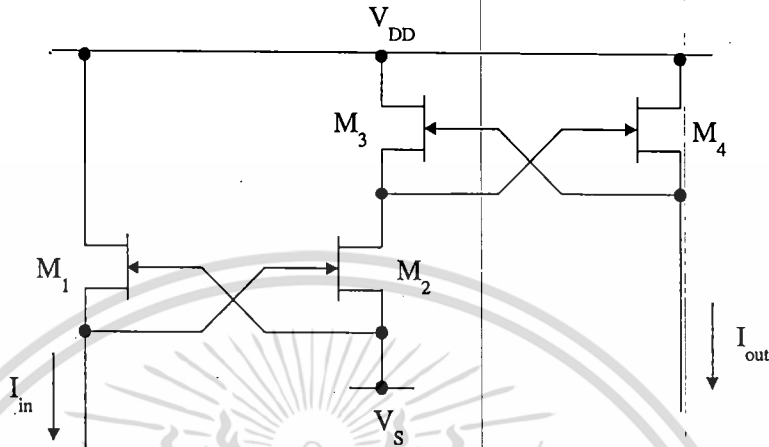
$$I_{out} = \left(\frac{W_4}{W_1}\right) \cdot I_{in} \quad (2.1.10)$$

นั่นคือสมการที่ (2.1.10) แสดงให้เห็นว่าวงจรรูปที่ 2.1.3 มีลักษณะการทำงานเชิงเส้นด้วยอัตราขยายกระแสเท่ากับ  $W_4/W_1$  และไม่กลับทิศทาง นอกจากนี้ยังพบอีกว่าถ้าเลือกให้เมสเฟตทุกตัวในวงจรมีคุณสมบัติสมพียงกันแล้วจะได้  $I_{in} = I_{out}$  โดยประมาณ

ดังนั้นสามารถแสดงผลตอบแทนของความถี่ระหว่างกระแสจุดออก,  $I_{out}$  และกระแสจุดเข้า,  $I_{in}$  กรณีสัญญาณขนาดเล็กได้ดังนี้ [2]

เอกสารนี้เป็นเอกสารที่สงวนไว้สำหรับการใช้งานเพื่อการศึกษาเท่านั้น ไม่อนุญาตให้นำไปใช้ประโยชน์ด้านการค้า ไม่ว่ากรณีใดๆทั้งสิ้น อีกทั้งห้ามมิให้ดัดแปลงเนื้อหา และต้องอ้างอิงถึงเจ้าของเอกสารทุกครั้งที่มีการนำไปใช้

$$A_{i(s)} = \frac{I_{out}(s)}{I_{in}(s)} = \frac{(g_{m2} - sC_{gd2})(g_{m4} + sC_A)}{(g_{m1} + sC_B)(g_{m3} + sC_C) + sC_{gd2}(g_{m2} - sC_{gd2})}, \quad (2.1.11)$$



รูปที่ 2.1.3 : วงจร GaAs สะท้อนกระแสแบบลบ

เมื่อ  $C_A = C_{gs3} + C_{gs4}$ ,  $C_B = C_{gs1} + C_{gs2} + C_{gd2}$  และ  $C_C = C_{gd2} + C_{gd4} + C_{gs3} + C_{gs4}$   
 การส่งผ่านกระแสดีซีระหว่างกระแสจุดออก  $I_{out}$  และกระแสจุดเข้า  $I_{in}$  จึงเท่ากับ

$$I_{out} = \frac{g_{m2}g_{m4}}{(g_{m1} + g_{d1})(g_{m3} + g_{d2} + g_{d3})} I_{in} \quad (2.1.12)$$

และค่าความต้านทานที่จุดเข้าของวงจรเมื่อพิจารณาเข้าไปยังขาซอร์สของเมสเฟท  $M_1$  จะมีค่าเท่ากับ

$$r_{in} = \frac{1}{g_{m1}} \quad (2.1.13)$$

สำหรับค่าความต้านทานจุดออกของวงจรในรูปที่ 2.1.3 มีค่าเท่ากับ

$$r_{out} = \frac{1}{g_{d4}} \quad (2.1.14)$$

เมื่อ  $g_{mi}$  คือค่าอัตราขยายความนำของสัญญาณขนาดเล็กในเมสเฟท  $M_i$  และ  $g_{di}$  คือค่าความนำระหว่าง

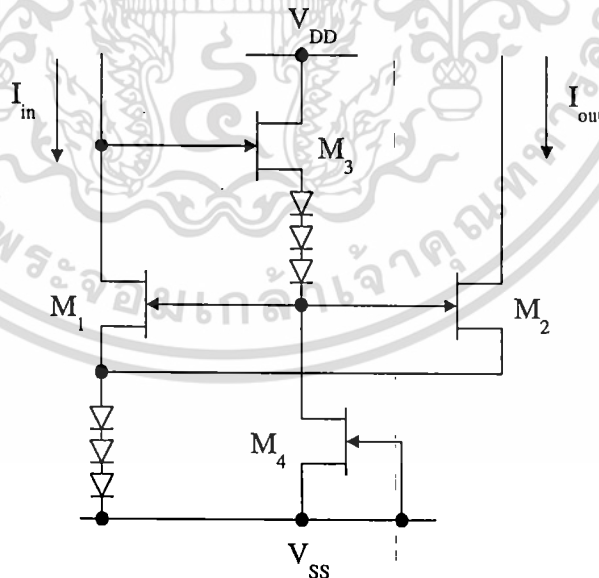
ขาเดรนกับขาซอร์สของเมสเฟท  $M_i$  ถ้าเมสเฟททุกตัวมีคุณสมบัติสมพ้องกันทุกประการแล้วจะได้  
 ไม่ว่าจะกรณีใดๆทั้งสิ้น อีกทั้งห้ามมิให้ดัดแปลงเนื้อหา และต้องอ้างอิงถึงเจ้าของเอกสารทุกครั้งที่มีการนำไปใช้

$g_{mi} = g_m$  และ  $g_{di} = g_d$  ดังนั้นค่าความผิดพลาด (error) ในการส่งผ่านกระแสจากจุดเข้าไปยังจุดออกจะมีค่าเท่ากับ [2]

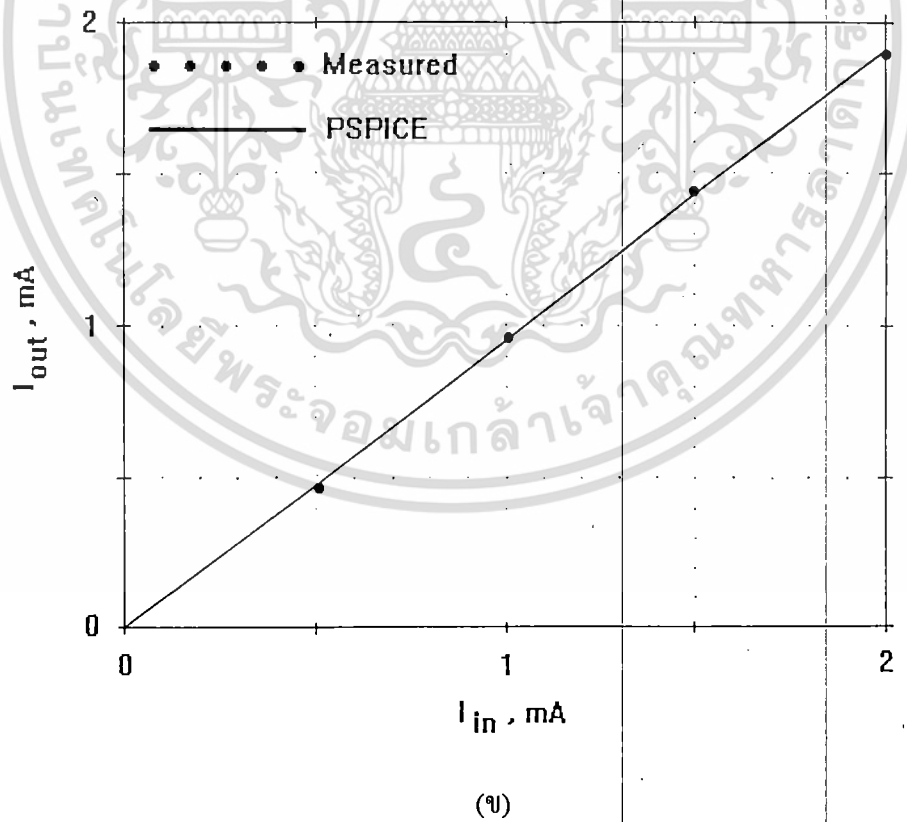
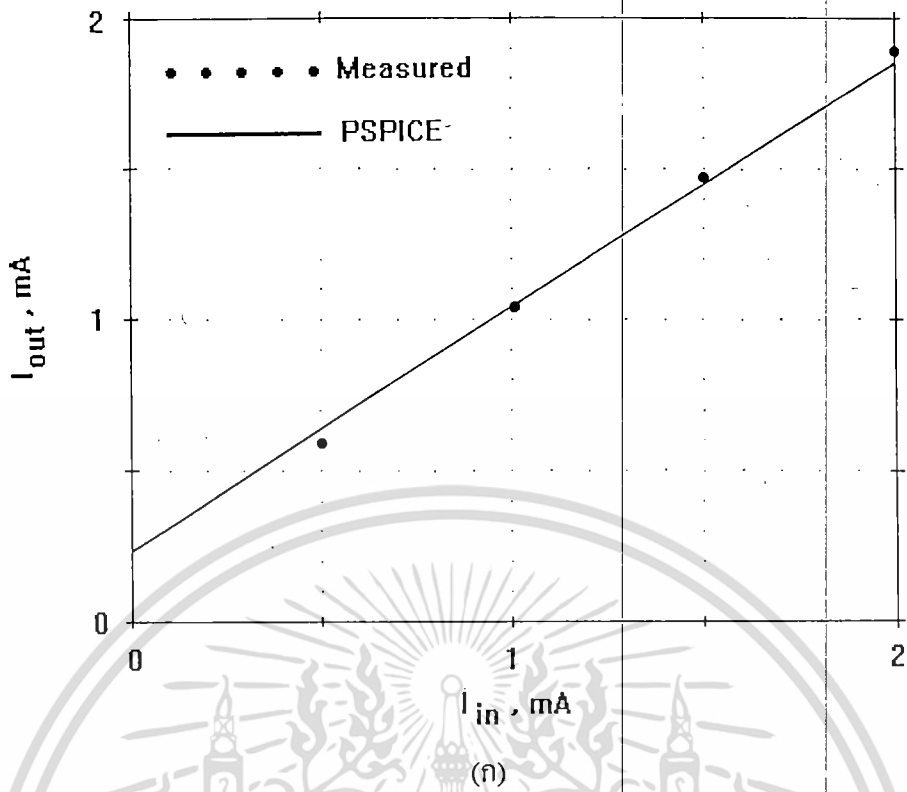
$$\text{ค่าผิดพลาด} = 3\left(\frac{g_d}{g_m}\right) + 2\left(\frac{g_d}{g_m}\right)^2 \cong 3\left(\frac{g_d}{g_m}\right) \quad (2.1.15)$$

### 2.1.3 วงจร GaAs สะท้อนกระแสแบบบวก

วงจร GaAs สะท้อนกระแสแบบบวกดังแสดงในรูปที่ 2.1.4 ถูกเสนอเป็นครั้งแรกโดย N. Scheinberg [3] โดยที่เมสเฟท  $M_3$  ทำหน้าที่เป็นวงจรซอร์สตาม (source follower) จากวงจรจะเห็นว่าขาเกตและขาซอร์สของ  $M_2$  ต่อโดยตรงกับขาเกตและขาซอร์สของ  $M_1$  (นั่นคือ  $V_{GS1} = V_{GS2}$ ) ดังนั้นถ้าความกว้างขาเกต (gate width,  $W$ ) ของ  $M_1$  กับ  $M_2$  เท่ากันแล้ว กระแสจุดออก,  $I_{DS2}$  จะสะท้อนกระแสมาจากจุดเข้า,  $I_{DS1}$  หรือนั่นคือ  $I_{in} \cong I_{out}$  ในขณะที่เมสเฟท  $M_4$  นั้นทำหน้าที่เป็นวงจรดึงกระแสคงที่ (current source) ผลตอบสนองทางความถี่ระหว่างกระแสจุดออก  $I_{out}$  และกระแสจุดเข้า  $I_{in}$  สำหรับสัญญาณขนาดเล็กสามารถแสดงได้ดังนี้ได้ดังนี้ [2]

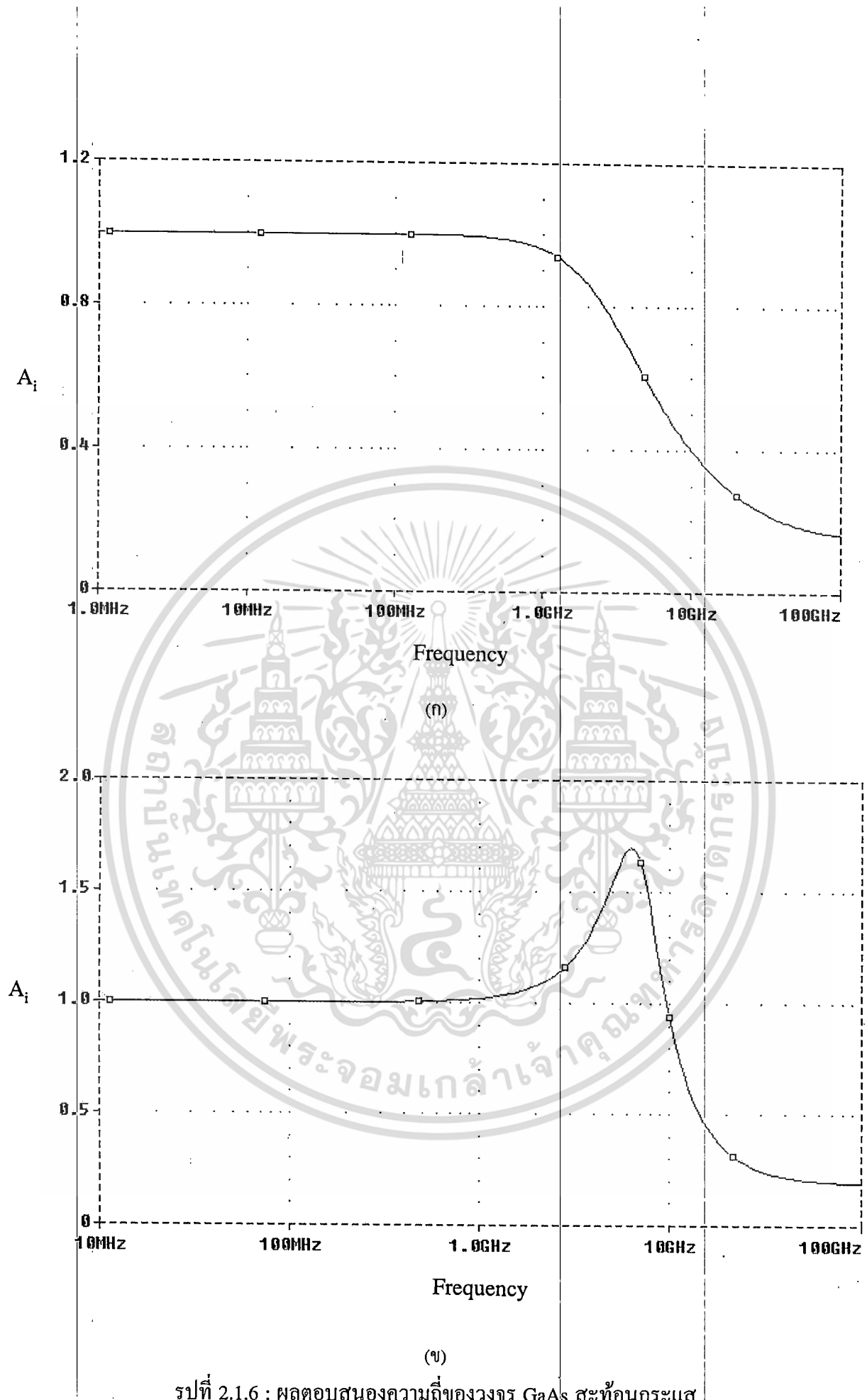


รูปที่ 2.1.4 : วงจร GaAs สะท้อนกระแสแบบบวก



รูปที่ 2.1.5 : คุณสมบัติระหว่างกระแส  $I_{in}$  กับ  $I_{out}$  ของวงจรถ่าย GaAs สะท้อนกระแส

เอกสารนี้เป็นเอกสารที่สงวนไว้สำหรับ(ก) แบบฉบับเพื่อการศึกษาเท่านั้น(ข) แบบฉบับยกเว้นให้ไปใช้ประโยชน์ด้านการค้า  
ไม่ว่ากรณีใดๆทั้งสิ้น อีกทั้งห้ามมิให้ดัดแปลงเนื้อหา และต้องอ้างอิงถึงเจ้าของเอกสารทุกครั้งที่มีการนำไปใช้



รูปที่ 2.1.6 : ผลตอบสนองความถี่ของวงจร GaAs สะท้อนกระแส

(ก) แบบลบ

(ข) แบบบวก

เอกสารนี้เป็นเอกสารที่สงวนไว้สำหรับการใช้งานเพื่อการศึกษาเท่านั้น ไม่อนุญาตให้นำไปใช้ประโยชน์ด้านการค้า ไม่ว่าจะกรณีใดๆทั้งสิ้น อีกทั้งห้ามมิให้ดัดแปลงเนื้อหา และต้องอ้างอิงถึงเจ้าของเอกสารทุกครั้งที่มีการนำไปใช้

ในการผลิต n-channel depletion-mode GaAs MESFETs ที่ความกว้างและความยาวขาคาทเท่ากับ  $1 \mu\text{m}$

ผลการทดลองและผลการเลียนแบบการทำงานของวงจรแสดงได้ดังรูปที่ 2.1.5 ซึ่งจะเห็นว่ากระแสจุดเข้าของวงจร,  $I_{in}$  สามารถสะท้อนส่งผ่านไปเป็นกระแสจุดออกของวงจร,  $I_{out}$  ได้อย่างแม่นยำ ทั้งยังมีความเป็นเชิงเส้นตลอดช่วงปฏิบัติงานสูง

สำหรับการวิเคราะห์ผลตอบสนองทางความถี่ของวงจรมันเนื่องจากอุปกรณ์เมสเฟทที่ใช้ในการทดลองเป็นลักษณะของอุปกรณ์จำพวกดิสครีต (discrete) จึงทำให้มีผลของค่าความจุไฟฟ้าแฝง (stray capacitance) ในแผงทดลองมาก ดังนั้นในที่นี้การวิเคราะห์หาผลตอบสนองทางความถี่ของวงจรได้ใช้โปรแกรม PSPICE ทำการเลียนแบบการทำงานของวงจร ดังผลที่แสดงในรูปที่ 2.1.6 ซึ่งจากเงื่อนไขในการทำงานของวงจรที่กล่าวมาข้างต้น จะพบว่าวงจร GaAs สะท้อนกระแสแบบลบมีค่า  $g_{m1} = 1.83 \times 10^{-4} \text{ A/V}$ ,  $g_{m2} = 2.41 \times 10^{-3} \text{ A/V}$ ,  $g_{m3} = 2.85 \times 10^{-3} \text{ A/V}$ ,  $g_{m4} = 6.62 \times 10^{-4} \text{ A/V}$ ,  $C_{gs1} = 3.29 \times 10^{-15} \text{ F}$ ,  $C_{gs2} = 8.52 \times 10^{-15} \text{ F}$ ,  $C_{gs3} = 7.72 \times 10^{-15} \text{ F}$ ,  $C_{gs4} = 4.50 \times 10^{-15} \text{ F}$  และ  $C_{gd1} = C_{gd2} = C_{gd3} = C_{gd4} = 6.28 \times 10^{-15} \text{ F}$  สำหรับวงจร GaAs สะท้อนกระแสแบบบวกมีค่า  $g_{m1} = g_{m2} = 2.07 \times 10^{-3} \text{ A/V}$ ,  $g_{m3} = g_{m4} = 1.84 \times 10^{-3} \text{ A/V}$ ,  $C_{gs1} = C_{gs2} = 6.24 \times 10^{-15} \text{ F}$ ,  $C_{gs3} = 5.86 \times 10^{-15} \text{ F}$  และ  $C_{gd1} = C_{gd2} = C_{gd3} = 6.28 \times 10^{-15} \text{ F}$  ดังนั้นเมื่อแทนค่าต่างๆเหล่านี้ลงในสมการผลตอบสนองเชิงความถี่ของวงจรที่ได้คาดการณ์เอาไว้ในสมการที่ (2.1.11) และ (2.1.16) จะเห็นว่าปรากฏผลใกล้เคียงกันกับผลที่ได้จากการเลียนแบบการทำงานของวงจรด้วยโปรแกรม PSPICE ในรูปที่ 2.1.6

### 3 วงจรทรานคอนดักเตอร์แบบใช้ GaAs MESFETs

วงจรทรานคอนดักเตอร์เป็นวงจรซึ่งทำหน้าที่เปลี่ยนศักดาให้เป็นกระแส ดังแสดงในรูปที่ 3.1 เมื่อเมสเฟท  $M_1$  และ  $M_2$  มีคุณสมบัติสมพงษ์กันแล้ว ความสัมพันธ์ระหว่างศักดาจุดเข้าและกระแสผลต่างจุดออกระหว่างกระแสเดรนของ  $M_1$ ,  $M_2$  จะอยู่ในรูปของค่าความนำของวงจรมันดังนี้

$$I_{out} = \Delta I_D = I_{D2} - I_{D1} = G_m V_{in} \quad (3.1)$$

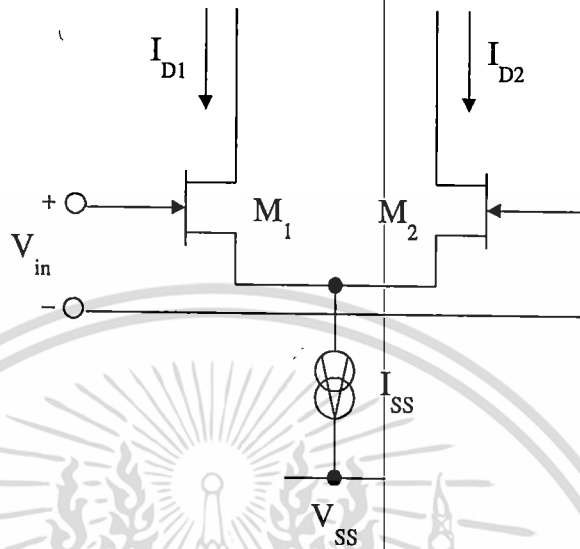
หรือ

$$G_m = \frac{I_{out}}{V_{in}} \quad (3.2)$$

เมื่อ  $V_{in}$  เป็นศักดาผลต่างจุดเข้าของวงจร เท่ากับ  $V_1 - V_2$   $I_{out}$  เป็นผลต่างของกระแสจุดออกและ  $G_m$  คือค่าความนำ (transconductance) ของวงจร ซึ่งกระแสไบอัสจะเป็นผลรวมของกระแสเดรน

ของเมสเฟท  $M_1$  กับ  $M_2$  นั่นคือ เอกสารนี้จัดทำขึ้นเพื่อใช้ในการศึกษาเท่านั้น ไม่อนุญาตให้นำไปใช้ประโยชน์ด้านการค้า ไม่ว่ากรณีใดๆทั้งสิ้น อีกทั้งห้ามมิให้ดัดแปลงเนื้อหา และต้องอ้างอิงถึงเจ้าของเอกสารทุกครั้งที่มีการนำไปใช้

$$I_{SS} = I_{D1} + I_{D2} \quad (3.3)$$



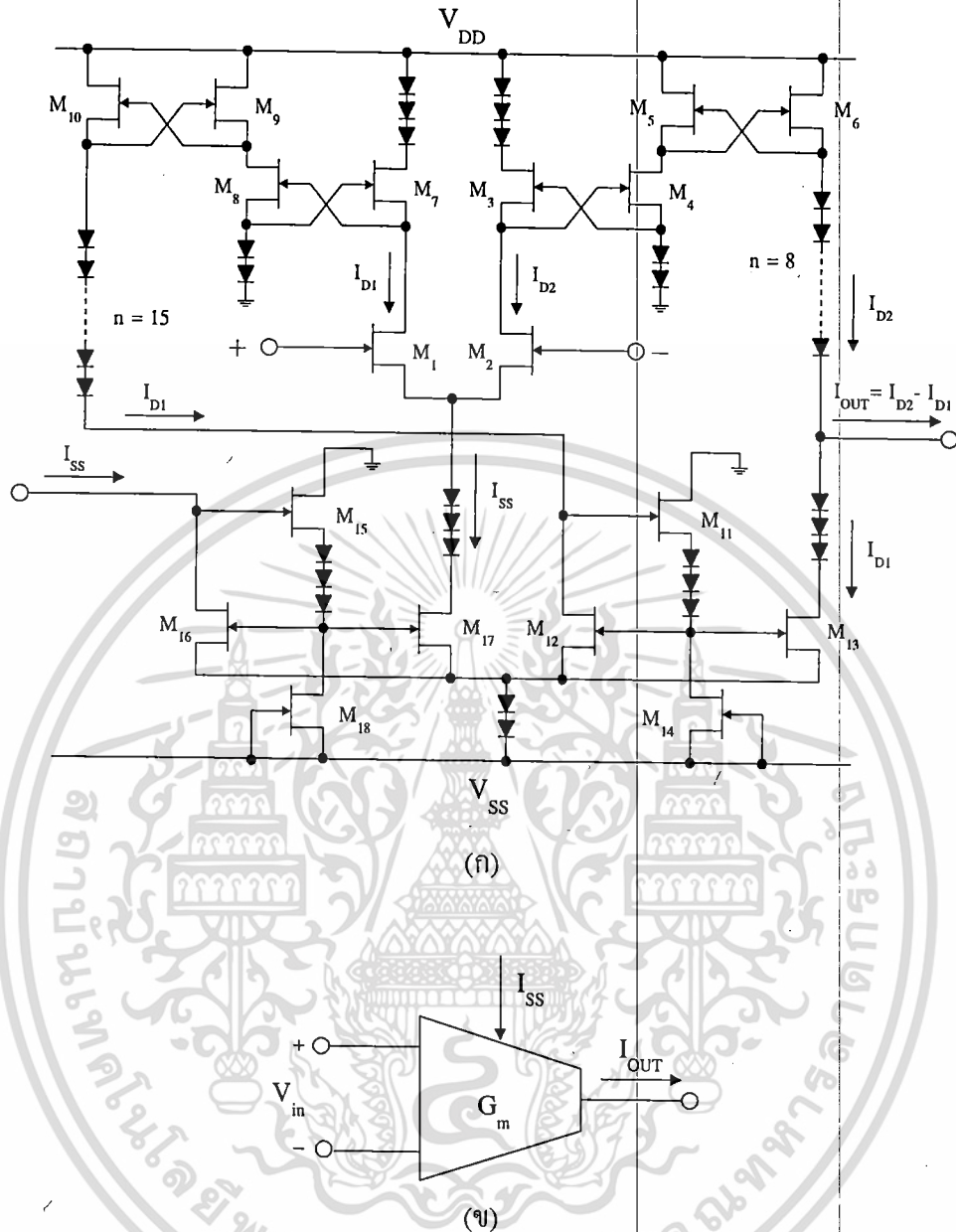
รูปที่ 3.1 : วงจร GaAs ทรานคอนดักเตอร์พื้นฐาน

#### 4 วงจรขยายค่าความนำโดยใช้ GaAs MESFETs

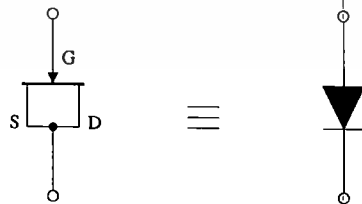
วงจรขยายค่าความนำโดยใช้อุปกรณ์เมสเฟต แสดงได้ดังรูปที่ 4.1 ประกอบด้วยวงจรส่วนหน้าที่เป็นวงจรทราน-คอนดักเตอร์พื้นฐาน  $M_1, M_2$  วงจร GaAs สะท้อนกระแสแบบลบ  $M_3-M_6, M_7-M_{10}$  และแบบบวก  $M_{11}-M_{14}$  ที่มีอัตราการส่งผ่านกระแสเท่ากับหนึ่ง เพื่อทำหน้าที่รักษากระแสเดรนของ  $M_1$  ( $I_{D1}$ ) ให้เท่ากับกระแสเดรนของ  $M_{13}$  ( $I_{D13}$ ) และกระแสเดรนของ  $M_2$  ( $I_{D2}$ ) ให้เท่ากับกระแสเดรนของ  $M_6$  ( $I_{D6}$ ) ตามลำดับ ดังนั้นจึงทำให้กระแสที่จุดออกของวงจร  $I_{out}$  มีค่าเท่ากับผลต่างของกระแส  $I_{D1}$  กับ  $I_{D2}$  ตามสมการที่ (3.1) โดยที่วงจร GaAs สะท้อนกระแสแบบ บวก  $M_{15}-M_{18}$  ทำหน้าที่ปรับค่ากระแสไบอัส  $I_{SS}$  และไดโอดในวงจรจะทำหน้าที่จัดระดับสัญญาณดิซีไบอัสเพื่อไบอัสให้เมสเฟตทุกตัวทำงานอยู่ในช่วงอิมิตัว ซึ่งไดโอดดังกล่าวจะอาศัยโครงสร้างที่เป็นรอยสัมผัสชอร์สกีไดโอดบริเวณเกทของเมสเฟตซึ่งทำได้โดยการลัดวงจรที่ขาเดรนกับขาชอร์สกีดังแสดงได้ในรูปที่ 4.2 ดังนั้นเมื่อเมสเฟตทุกตัวทำงานอยู่ในช่วงอิมิตัวแล้วความสัมพันธ์ระหว่างกระแสเดรนกับศักดาเกต-ชอร์สกีของเมสเฟตจะมีคุณสมบัติเป็นไปตามกฎกำลังสองดังนี้

$$I_D = I_{DSS} \left[ 1 - \frac{V_{GS}}{V_T} \right]^2 \quad (4.1)$$

เอกสารนี้เป็นเอกสารที่สงวนไว้สำหรับการใช้งานเพื่อการศึกษาเท่านั้น ไม่อนุญาตให้นำไปใช้ประโยชน์ด้านการค้า ไม่ว่ากรณีใดๆทั้งสิ้น อีกทั้งห้ามมิให้ดัดแปลงเนื้อหา และต้องอ้างอิงถึงเจ้าของเอกสารทุกครั้งที่มีการนำไปใช้



รูปที่ 4.1 : (ก) วงจรขยายค่าความนำแบบใช้ GaAs MESFETs (ข) สัญลักษณ์



รูปที่ 4.2 : ซอร์สกีไดโอดที่ต่อโดยใช้ GaAs MESFET

เอกสารนี้เป็นเอกสารที่สงวนไว้สำหรับการใช้งานเพื่อการศึกษาเท่านั้น ไม่อนุญาตให้นำไปใช้ประโยชน์ด้านการค้า ไม่ว่าจะกรณีใดๆทั้งสิ้น อีกทั้งห้ามมิให้ดัดแปลงเนื้อหา และต้องอ้างอิงถึงเจ้าของเอกสารทุกครั้งที่มีการนำไปใช้

โดยที่  $I_{DSS}$  คือกระแสเดรนอิ่มตัวของเมสเฟทที่  $V_{GS} = 0$  และ  $V_T$  คือศักดาขีดเริ่ม (threshold voltage) ดังนั้นจากสมการที่ (4.1) และ (4.4) จะได้ความสัมพันธ์ระหว่างกระแสจุกออก  $I_{out}$  กับ ศักดาผลต่าง  $V_{in}$  ของวงจรดังนี้

$$I_{out} = \left[ \left( \sqrt{KI_{SS}} \right) \left( \sqrt{1 - \frac{KV_{in}^2}{4I_{SS}}} \right) \right] V_{in} \quad (4.2)$$

โดยที่  $K = \frac{2I_{DSS}}{V_T^2}$  ดังนั้นค่าความนำรวมของวงจร  $G_m$  มีค่าเท่ากับ

$$G_m = \left. \frac{\partial(I_{out})}{\partial(V_{in})} \right|_{V_{in}=0} = \sqrt{KI_{SS}} \quad (4.3)$$

ช่วงศักดาปฏิบัติงานสูงสุดของวงจร  $V_{in(max)}$  เท่ากับ

$$|V_{in(max)}| \leq V_T \sqrt{\frac{2I_{SS}}{I_{DSS}}} \quad (4.4)$$

จากสมการที่ (4.3) และ (4.4) แสดงให้เห็นว่าสมรรถนะของวงจรมันขึ้นกับกระแสไบอัส  $I_{SS}$  ดังนั้นจึงสามารถควบคุมค่าความนำตลอดจนช่วงศักดาในการปฏิบัติงานของวงจรได้อย่างสะดวกด้วยการปรับค่าของกระแส  $I_{SS}$  ดังผลการทำงานของวงจรที่จะได้กล่าวในหัวข้อต่อไป

ส่วนการวิเคราะห์หาผลตอบสนองความถี่ในการปฏิบัติงานของวงจร หาได้โดยแทนวงจรสมมูลทางไฟฟ้าของเมสเฟทสำหรับสัญญาณขนาดเล็ก (ตามที่เสนอในเอกสารอ้างอิงที่ 5 บทที่ 4) โดยพิจารณา ค่าความจุไฟฟ้าระหว่างเกตกับซอร์ส  $C_{gs}$  และค่าความจุไฟฟ้าระหว่างเกตกับเดรน  $C_{gd}$  เป็นหลัก ซึ่งจะ ได้ฟังก์ชันการส่งผ่าน (transfer function) ของวงจรดังนี้

$$G_{m(s)} = \frac{i_{out}(s)}{v_{in}(s)} = \frac{g_m(g_{m4} - sC_A)(g_{m6} + sC_B)}{(g_{m3} + sC_C)(g_{m5} + sC_D) + sC_A(g_{m4} - sC_A)} \quad (4.5)$$

โดยที่  $g_m = g_{m1} = g_{m2}$  ,  $g_{m3} = g_{m7}$  ,  $g_{m4} = g_{m8}$  ,  $g_{m5} = g_{m9}$  ,  $g_{m6} = g_{m10}$  และ  $C_A = C_{gd4}$  ,  $C_B = C_{gs5} + C_{gs6}$  ,  $C_C = C_{gs3} + C_{gs4} + C_{gd4}$  ,  $C_D = C_{gd4} + C_{gd6} + C_{gs5} + C_{gs6}$  เมื่อ

เอกสารนี้เป็นเอกสารที่สงวนไว้สำหรับการใช้งานเพื่อการศึกษาเท่านั้น ไม่อนุญาตให้นำไปใช้ประโยชน์ด้านการค้า ไม่ว่ากรณีใดๆทั้งสิ้น อีกทั้งห้ามมิให้ดัดแปลงเนื้อหา และต้องอ้างอิงถึงเจ้าของเอกสารทุกครั้งที่มีการนำไปใช้

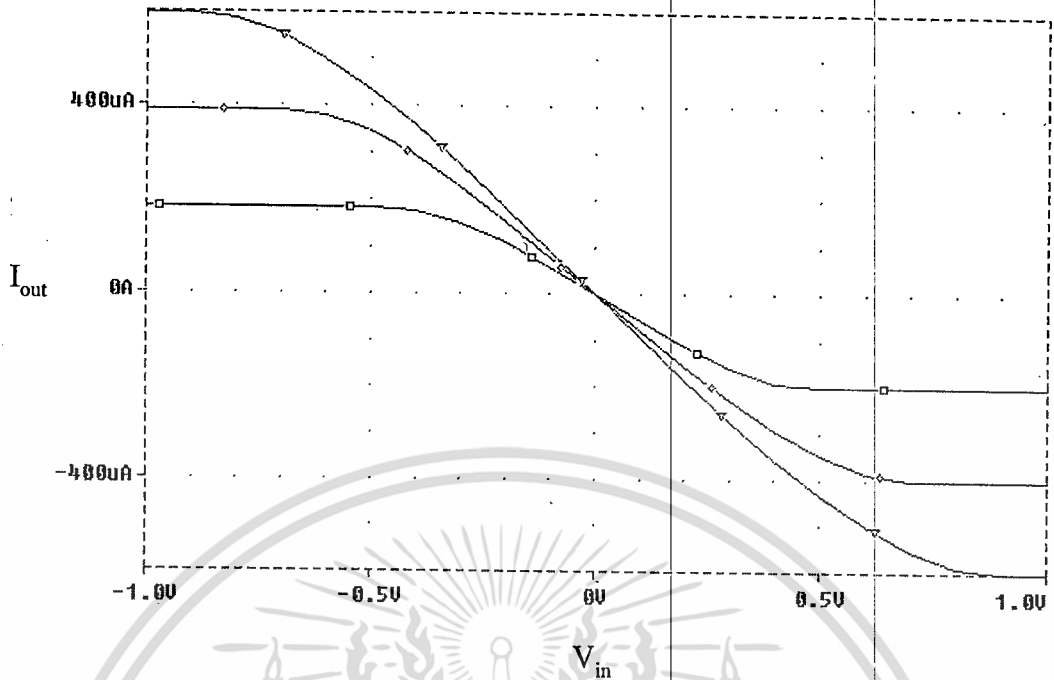
$g_{mi}$ ,  $C_{gsi}$ ,  $C_{gdi}$  คือ ค่าความนำ ค่าความจุไฟฟ้าระหว่างเกตกับซอร์ส ค่าความจุไฟฟ้าระหว่างเกตกับเดรนของเมสเฟท  $M_i$  ตามลำดับ

ความต้านทานจุดออกของวงจรถูกเท่ากับความต้านทานจุดออกของวงจร GaAs สะท้อนกระแสแบบลบ  $M_3$ - $M_6$  ขนานกับความต้านทานจุดออกของวงจร GaAs สะท้อนกระแสแบบบวก  $M_{11}$ - $M_{14}$

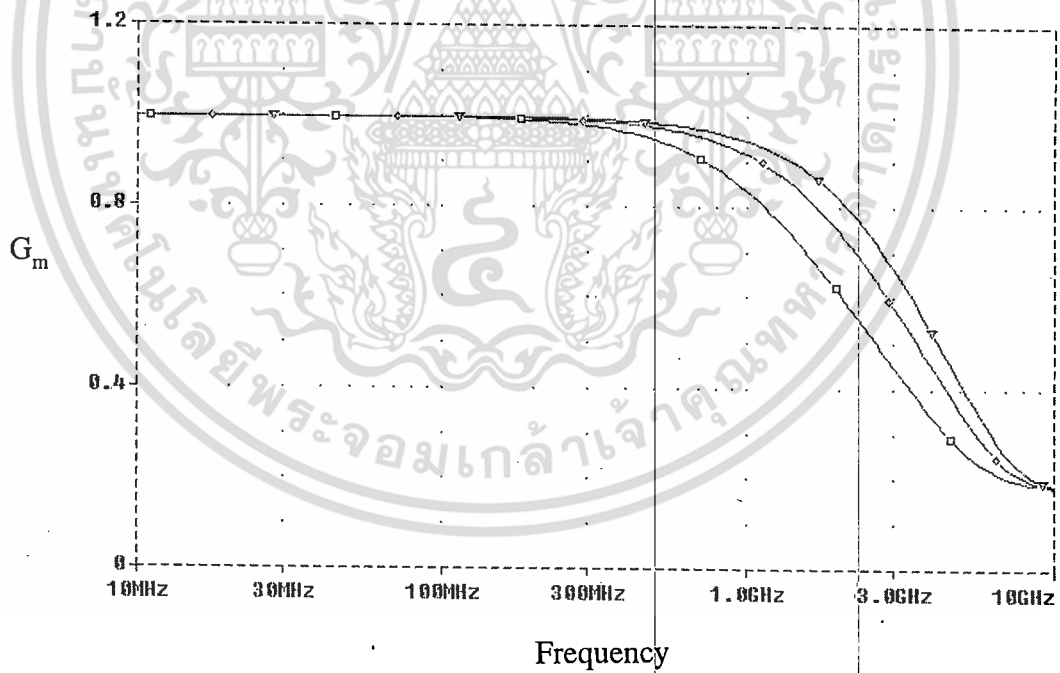
#### 4.1 ผลการเลียนแบบการทำงานของวงจรถ่ายด้วยโปรแกรม PSPICE

การวิเคราะห์การทำงานของวงจรในบทความนี้ได้ใช้โปรแกรม PSPICE ทำการเลียนแบบการทำงานของวงจร โดยที่แบบจำลองของอุปกรณ์เมสเฟทจะใช้ตามเทคโนโลยี STL P1 PROCESS ของบริษัท STL ซึ่งเป็นเทคโนโลยีในการผลิตอุปกรณ์เมสเฟทชนิดเอ็นที่มีความกว้าง (W) และความยาว (L) ขนาดเท่ากับ  $1 \mu\text{m}$  เมื่อความกว้างขนาดของเมสเฟททุกตัวที่ใช้ในวงจรมีค่าเท่ากับ  $16 \mu\text{m}$  และ  $V_{DD} = +7.5 \text{ V}$ ,  $V_{SS} = -7.5 \text{ V}$  กระแส  $I_{SS}$  ปรับให้มีค่าเปลี่ยนแปลงเป็น 0.2, 0.4, 0.6 mA ตามลำดับ สักคาผลต่างที่ป้อนให้กับวงจรถ่ายค่าอยู่ในช่วง  $-1 \text{ V}$  ถึง  $+1 \text{ V}$  จะได้ความสัมพันธ์ระหว่างสักคาผลต่างจุดเข้ากับกระแสจุดออกของวงจรถ่ายแสดงในกราฟรูปที่ 4.4 และจากเงื่อนไขในการทำงานของวงจรถ่ายที่กำหนดข้างต้น เมื่อแทนค่า  $V_T = -1 \text{ V}$ ,  $I_{DSS} = 1.6 \text{ mA}$  ลงในสมการที่ (4.4) แล้ว ช่วงสักคาปฏิบัติงานสูงสุดของวงจรถ่าย  $V_{in(max)}$  จะมีค่าเท่ากับ  $\pm 0.50 \text{ V}$ ,  $\pm 0.71 \text{ V}$  และ  $\pm 0.87 \text{ V}$  ตามลำดับ ซึ่งจะเห็นว่าปรากฏผลสอดคล้องกับผลที่ได้จากการเลียนแบบการทำงานของวงจรถ่ายด้วยโปรแกรม PSPICE ในรูปที่ 4.3

ผลตอบสนองความถี่ของวงจรถ่ายที่ได้จากการเลียนแบบการทำงานของวงจรถ่ายด้วยโปรแกรม PSPICE ดังรูปที่ 4.4 จะเห็นว่าที่กระแสไบอัส  $I_{SS}$  แปลค่าเป็น 0.2 mA, 0.4 mA และ 0.6 mA ตำแหน่งความถี่คัทออฟ (cutoff frequency) ของวงจรมีค่าเป็น 1.56 GHz, 2.26 GHz และ 2.77 GHz ตามลำดับ เมื่อนำมาพิจารณาเทียบกับผลที่ได้จากการวิเคราะห์ด้วยฟังก์ชันการส่งผ่านตามสมการที่ (4.5) ตัวอย่างเช่น ที่  $I_{SS} = 0.2 \text{ mA}$  จะได้ค่า  $g_m = g_{m3} = g_{m6} = 6.55 \times 10^{-4} \text{ A/V}$ ,  $g_{m4} = g_{m5} = 2.83 \times 10^{-3} \text{ A/V}$ ,  $C_{gs3} = C_{gs6} = 4.56 \times 10^{-15} \text{ F}$ ,  $C_{gs4} = C_{gs5} = 7.87 \times 10^{-15} \text{ F}$  และ  $C_{gd3} = C_{gd4} = C_{gd5} = C_{gd6} = 6.30 \times 10^{-15} \text{ F}$  ดังนั้นเมื่อแทนค่าต่างๆเหล่านี้แทนลงในสมการและแปลค่าความถี่ไปพบว่าผลตอบสนองเชิงความถี่ของวงจรถ่ายที่ได้จากการคาดการณ์เอาไว้จากสมการที่ (4.5) ให้ผลที่มีค่าใกล้เคียงกับผลจากการเลียนแบบการทำงานของวงจรถ่ายด้วยโปรแกรม PSPICE ในรูปที่ 4.4



รูปที่ 4.3 : กราฟคุณสมบัติระหว่าง  $I_{out}$  กับ  $V_{in}$  ของวงจร  
 เมื่อ  $\square$ :  $I_{SS} = 0.2 \text{ mA}$ ,  $\diamond$ :  $I_{SS} = 0.4 \text{ mA}$  และ  $\nabla$ :  $I_{SS} = 0.6 \text{ mA}$



รูปที่ 4.4 : ผลตอบสนองความถี่ของวงจร  
 เมื่อ  $\square$ :  $I_{SS} = 0.2 \text{ mA}$ ,  $\diamond$ :  $I_{SS} = 0.4 \text{ mA}$  และ  $\nabla$ :  $I_{SS} = 0.6 \text{ mA}$

เอกสารนี้เป็นเอกสารที่สงวนไว้สำหรับการใช้งานเพื่อการศึกษาเท่านั้น ไม่อนุญาตให้นำไปใช้ประโยชน์ด้านการค้า  
 ไม่ว่าจะกรณีใดๆทั้งสิ้น อีกทั้งห้ามมิให้ดัดแปลงเนื้อหา และต้องอ้างอิงถึงเจ้าของเอกสารทุกครั้งที่มีการนำไปใช้

## สรุป

วงจรรขยายค่าความนำที่ออกแบบโดยใช้เทคโนโลยีแกลเลียมอาร์เซไนด์ที่นำเสนอมาข้างต้น นอกจากวงจรที่ได้จะมีประสิทธิภาพที่ดี มีความเป็นเชิงเส้นตลอดช่วงการปฏิบัติงานสูงแล้ว ยังมีขอบเขตในการใช้ประยุกต์งานกว้างขวางอีกด้วย เนื่องจากสมรรถนะของวงจรดังกล่าวสามารถควบคุมปรับค่าความนำของวงจรได้ง่ายและสะดวก ทั้งยังมีผลตอบสนองเชิงความถี่ในช่วงปฏิบัติงานสูงมาก ซึ่งสามารถยืนยันได้จากผลการคำนวณทางทฤษฎีกับผลการเลียนแบบการทำงานของวงจรด้วยโปรแกรม PSPICE ที่ปรากฏผลใกล้เคียงสอดคล้องกันเป็นไปตามหลักการที่นำเสนอ

## เอกสารอ้างอิง

- [1] C.Toumazou, D.G.Haigh, "Design and application of GaAs MESFET current mirror circuits", IEE Proceeding, Vol. 137, Pt. G, No. 2, April 1990, pp.101-108
- [2] วรพงศ์ ตั้งศิริรัตน์, วันชัย ธีรวิจิตร, จเร สุรวุฒินันท์, วลัยกัญญา, วลัยกัญญา, วลัยกัญญา, วลัยกัญญา, "การศึกษาคุณสมบัติของวงจรสะท้อนกระแสความถี่สูงโดยใช้ GaAs MESFETs", การประชุมวิชาการทางวิศวกรรมไฟฟ้า ครั้งที่ 17, ธันวาคม 2537, หน้า 487-491
- [3] N. Scheinberg, "A High-Speed GaAs Operational Amplifier", IEEE J.Solid-State Circuit, SC-22(4), pp.522-527, Aug. 1987
- [4] Microsim Corp., "PSPICE", Laguna Hills, CA 92653, U.S.A., May 1993
- [5] W.R.Curtice, "A MESFET Model for Use in the Design of GaAs Integrated Circuits", IEEE Trans. MTT, MTT-29 (5), pp.448-456, 1980
- [6] H. Statz, P. Newman, I.W. Smith, R.A. Pucel, and H.A. Haus, "GaAs FET Device and Circuit Simulation in SPICE", IEEE Trans. on Electron Devices, ED-34, pp.160-169, Feb. 1987
- [7] A.J. McCamant, G.D. McCormack, and D.H. Smith, "An Improved GaAs MESFET Model for SPICE", IEEE Trans. MTT, June 1990
- [8] S.J. Harrold, "An introduction to GaAs IC Design", Prentice-Hall International, 1997
- [9] R.Goval, "High-Frequency Analog Integrated Circuit Design", John Wiley & Sons, 1995
- [10] C. Toumazou, F.J. Lidgley, and D.G. Haigh, eds., "Analogue IC Design the Current-Mode Approach", Peter Peregrinus, London, April 1990.

เอกสารนี้เป็นเอกสารที่สงวนไว้สำหรับใช้ในงานเพื่อการศึกษานี้เท่านั้น ไม่อนุญาตให้ไปใช้ประโยชน์ด้านการค้าไม่ว่ากรณีใดๆทั้งสิ้น อีกทั้งห้ามมิให้ดัดแปลงเนื้อหา และต้องอ้างอิงถึงเจ้าของเอกสารทุกครั้งที่มีการนำไปใช้